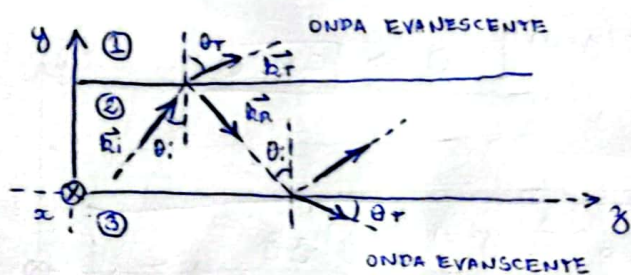


ONDA EVANESCENTE

↗ RIT

Quando foi estudada a reflexão interna total, discutiu-se que o valor de $\sin \theta_T > 1$ conduzia a uma onda transmitida com decaimento exponencial, mas que, entretanto, não apresentava potência real (transmitida entre os meios). Essa onda, igualmente solução da Eq. de onda, é conhecida como onda evanescente e, na prática, é um elemento que não se propaga pelo espaço, mas ~~existe~~ existe localmente na interface de fenômenos de reflexão interna total, sob condições de contorno.



Dessa forma, guias de onda planares (dielétricos) e fibras óticas devem apresentar esse fenômeno interessante (e quase místico), pois operam, como discutido, a partir da RIT.

Noramente, o vetor de onda da onda evanescente é dado por:

$$\vec{k}_T = k_{Ty} \hat{y} + k_{Tz} \hat{z} = k_{\perp} \cos(\theta_T) \hat{y} + k_{\perp} \sin(\theta_T) \hat{z}$$

Usando a lei de Snell e considerando $\mu_1 = \mu_2$:

$$k_{Tz} = k_{\perp} \sin(\theta_T) \Rightarrow k_{Tz} = k_{\perp} \sqrt{\frac{\epsilon_2}{\epsilon_1}} \sin(\theta_i)$$

Logo, verifica-se que k_{Tz} é uma quantidade real. Entretanto, como discutido, espera-se que $k_{Ty} = k_{\perp} \cos(\theta_T) = j k_{\perp} \alpha$ seja puramente imaginário.

A onda evanescente será descrita por:

$$E_T(y, z, t) = E_0 e^{-k_{\perp} \alpha y} e^{j(k_{\perp} \sqrt{\frac{\epsilon_2}{\epsilon_1}} \sin(\theta_i) z - \omega t)}$$

Haverá decaimento exponencial ao afastarmos da interface, e a grandeza $\delta = \frac{1}{k_{\perp} \alpha}$, denominada profundidade de penetração peculiar (superficial), descreverá a escala da distância do decaimento ao longo do eixo y . geralmente, δ assume valores menores do que o comprimento de onda em espaço livre.

Alguns ~~autores~~ autores se referem a onda evanescente como onda superficial (ou ainda do tipo onda superficial), visto que se encontra muito próxima à fronteira.

5) Sejam as regiões 1, 2, 3 tipicamente denominadas de cobertura (revestimento), filme (núcleo) e substrato no guia planar, como discutido anteriormente, a existência do modo guiado por RIT induz a presença de ondas evanescentes na cobertura e no substrato.

Dessa forma, como deduzido na última ~~equação~~ monitoria, a equação de Helmholtz para o campo E_x é:

$$\frac{\partial^2 E_x}{\partial y^2} + (k^2 - k_z^2) E_x = 0$$

com o campo da forma $E_x(y, z) = A(y) \cdot e^{-jk_z z}$. Assim, seja

$$k_y = \sqrt{k^2 - k_z^2}, \text{ tem-se:}$$

$$\frac{\partial^2}{\partial y^2} [A(y) \cdot e^{-jk_z z}] + k_y^2 [A(y) \cdot e^{-jk_z z}] = 0 \Rightarrow \boxed{\frac{\partial^2 A(y)}{\partial y^2} + k_y^2 A(y) = 0}$$

Aplicando o método geral de EDO:

$$\frac{\partial^2 A(y)}{\partial y^2} + k_y^2 A(y) = 0 \Rightarrow x^2 + k_y^2 = 0 \Rightarrow x = \pm j k_y$$

A solução geral é, portanto, dada por:

$$A(y) = c_1 e^{x_1 y} + c_2 e^{x_2 y} \Rightarrow \boxed{A(y) = c_1 e^{+j k_y y} + c_2 e^{-j k_y y}}$$

Analisar então a solução geral para cada uma das três regiões:

(i) CAMADA 1 - COBERTURA ($y \geq d \Rightarrow y-d \geq 0$)

como dito, nessa região, o campo deve ser evanescente, logo, $k_y = k_{y1}^1$ deve ser puramente imaginário:

$$k_{y1}^1 = \sqrt{k_1^2 - k_z^2} = \sqrt{-1(k_z^2 - k_1^2)} \Rightarrow k_{y1}^1 = j \sqrt{k_z^2 - k_1^2} = j \frac{\alpha}{k_1}$$

Além disso, o decaimento exponencial da onda evanescente permite inferir que

$$\lim_{y \rightarrow +\infty} A(y) = 0 \Rightarrow \lim_{y \rightarrow +\infty} [c_1 e^{-\frac{\alpha}{k_1}(y-d)} + c_2 e^{+\frac{\alpha}{k_1}(y-d)}] = 0 \Rightarrow \boxed{c_2 = 0}$$

Denominando $c_1 = A$, tem-se:

$$A_{\perp}(y) = A e^{-\frac{\alpha}{k_1}(y-d)}, \quad y \geq d \Rightarrow \boxed{E_x^{\perp}(y, z) = A e^{-\frac{\alpha}{k_1}(y-d)} e^{-jk_3 z}, \quad y \geq d}$$

(ii) CAMADA 3 - SUBSTRATO ($y \leq -d \Rightarrow y+d \leq 0$)

De forma análoga a camada 1, a existência da onda evanescente conduz a

$$k_y = k_{ry}^3 = j \sqrt{k_3^2 - k_0^2} \Rightarrow R_{ry} = j \alpha / k_3$$

Logo:

$$\lim_{y \rightarrow -\infty} A(y) = 0 \Rightarrow \lim_{y \rightarrow -\infty} [c_1 e^{-\frac{\alpha}{k_3}(y+d)} + c_2 e^{+\frac{\alpha}{k_3}(y+d)}] \Rightarrow \boxed{c_1 = 0}$$

Denominando $c_2 = B$,

$$\boxed{E_x^3(y, z) = B e^{+\frac{\alpha}{k_3}(y+d)} e^{-jk_3 z}, \quad y \leq -d}$$

(iii) CAMADA 2 - FILME ($-d \leq y \leq d \Rightarrow y < |d|$)

Na região 2 do guia planar, espera-se uma resposta semelhante ao que foi deduzido no núcleo do guia de placas paralelas (Resposta oscilatória). Logo, deve-se ter $k_y = k_{iy} = k_{ry}$ real. Assim:

$$A(y) = c_1 e^{+j k_y y} + c_2 e^{-j k_y y} = c_1 [\cos(k_y y) + j \sin(k_y y)] + c_2 [\cos(k_y y) - j \sin(k_y y)]$$

$$A(y) = (c_1 + c_2) \cos(k_y y) + j(c_1 - c_2) \sin(k_y y)$$

Denominando-se $C = (c_1 + c_2)$ e $D = j(c_1 - c_2)$, tem-se:

$$E_x^2(y, \bar{z}) = [C \cos(k_y y) + D \sin(k_y y)] e^{-j k_z \bar{z}}, \quad y < |d|$$

6) Como deduzido na monitoria passada (Questões 3a e 4a), tem-se:

$$H_z = \frac{1}{j\omega\mu} \frac{\partial E_x}{\partial y}$$

Então, seja $k_1 = k_3 = k_0$,

$$(i) \quad H_z^1(y, z) = -\frac{A}{j\omega\mu_0} \cdot \frac{\alpha}{k_0} e^{-\frac{\alpha}{k_0}(y-d)} e^{-j k_0 z}, \quad y \geq d$$

$$(ii) \quad H_z^2(y, z) = \frac{1}{j\omega\mu_0} [-C k_y \sin(k_y y) + D k_y \cos(k_y y)] e^{-j k_0 z}, \quad y < |d|$$

$$(iii) \quad H_z^3(y, z) = \frac{B}{j\omega\mu_0} \cdot \frac{\alpha}{k_0} e^{+\frac{\alpha}{k_0}(y+d)} e^{-j k_0 z}, \quad y \leq -d$$

7) Considerando a continuidade dos campos:

(i) EM $y = d$:

$$\rightarrow E_x^2(y=d, z) = E_x^1(y=d, z) \Rightarrow A = C \cos(k_y d) + D \sin(k_y d)$$

$$\rightarrow H_z^2(y=d, z) = H_z^1(y=d, z) \Rightarrow -A \cdot \frac{\alpha}{k_0} = -C k_y \sin(k_y d) + D k_y \cos(k_y d) \Rightarrow$$

$$A = C \frac{k_y \cdot k_0}{\alpha} \sin(k_y d) - D \frac{k_y \cdot k_0}{\alpha} \cos(k_y d)$$

(ii) EM $y = -d$:

$$\rightarrow E_x^2(y=-d, z) = E_x^3(y=-d, z) \Rightarrow B = C \cos(-k_y d) + D \sin(-k_y d)$$

$$\rightarrow H_z^2(y=-d, z) = H_z^3(y=-d, z) \Rightarrow B \cdot \frac{\alpha}{k_0} = -C k_y \sin(-k_y d) + D k_y \cos(-k_y d) \Rightarrow$$

$$B = -C \frac{k_y \cdot k_0}{\alpha} \sin(-k_y d) + D \frac{k_y \cdot k_0}{\alpha} \cos(-k_y d)$$

Assim, encontramos:

$$D = C \frac{K \sin(k_y d) - \cos(k_y d)}{K \cos(k_y d) + \sin(k_y d)}$$

$$\text{ou } D = C \frac{\cos(-k_y d) + K \sin(-k_y d)}{K \cos(-k_y d) - \sin(-k_y d)}$$

com $K = \frac{k_y k_0}{\alpha}$. Dessa forma, é possível resolver A e B em função de C.

Iguando:

$$D = D \Rightarrow \frac{K \operatorname{sen}(k_y d) - \cos(k_y d)}{K \cos(k_y d) + \operatorname{sen}(k_y d)} = \frac{\cos(-k_y d) + K \operatorname{sen}(-k_y d)}{K \cos(-k_y d) - \operatorname{sen}(-k_y d)} \Rightarrow$$

$$\frac{K \operatorname{sen}(k_y d) - \cos(k_y d)}{K \cos(k_y d) + \operatorname{sen}(k_y d)} = \frac{\cos(k_y d) - K \operatorname{sen}(k_y d)}{K \cos(k_y d) + \operatorname{sen}(k_y d)} \Rightarrow$$

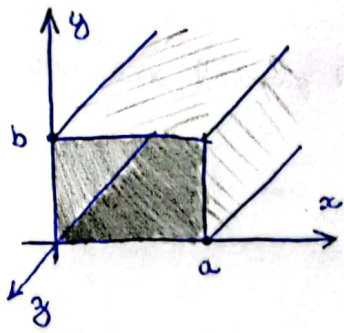
$$K \operatorname{sen}(k_y d) - \cos(k_y d) = \cos(k_y d) - K \operatorname{sen}(k_y d) \Rightarrow$$

$$2K \operatorname{sen}(k_y d) = 2 \cos(k_y d) \Rightarrow \operatorname{tg}(k_y d) = \frac{1}{K} \Rightarrow$$

$$\boxed{\operatorname{tg}(k_y d) = \frac{\alpha}{k_y \cdot k_0}}$$

EQUAÇÃO CARACTERÍSTICA DOS MODOS PE SIMÉTRICOS

GUIA DE ONDA RETANGULAR METÁLICO



O guia de onda retangular compõe o conjunto dos guias metálicos, como é o caso do guia de placas paralelas. Seu funcionamento é semelhante aos demais guias: confinamento e condução da energia eletromagnética de um ponto para outro por meio de RIT em placas metálicas.

Considere um guia de seção retangular com largura a e altura b , $a > b$, formado por placas de condutor perfeito ($\sigma \rightarrow \infty$). Como visto no guia de placas paralelas, espera-se que, dentro do guia, haja a presença de modos de propagação, ou seja, arranjos únicos de campos elétricos e magnéticos que satisfazem as Eqs. de Maxwell e as condições de contorno impostas pela geometria da estrutura.

Nesse sentido, para a polarização TE (modo TE), observa-se que as componentes do campo elétrico não-nulas estarão no plano transversal ao de propagação (x ou y), portanto $E_z = 0$ e, por consequência, $H_z \neq 0$. Para a polarização TH (modo TH), tem-se o análogo para o campo magnético: $H_z = 0$ e $E_z \neq 0$.

O modo TEM (Eletro Magnético Transversal) seria relativo às componentes de E e H não-nulas que estarão no plano transversal ao de propagação, ou seja, tem-se $E_z = H_z = 0$. O modo TEM é aceite no guia de placas paralelas, mas não pode ser propagado no guia retangular, pois apenas um condutor está presente.

Assim, analisando as soluções de onda para os modos aceitos:

① MODO TE

Devido a estrutura do guia retangular, no modo TE, espera-se que o campo magnético assuma a forma dada abaixo para a componente em z :

$$H_z(x, y, z) = A(x, y) \cdot e^{-\gamma k_z z}$$

Assim, deve-se encontrar uma Eq. de Helmholtz equivalente a:

$$\frac{\partial^2 H_z}{\partial x^2} + \frac{\partial^2 H_z}{\partial y^2} + (k^2 - k_z^2) H_z = 0$$

ou então:

$$\frac{\partial^2 A(x,y)}{\partial x^2} + \frac{\partial^2 A(x,y)}{\partial y^2} + k_c^2 A(x,y) = 0$$

com $k_c = \sqrt{k^2 - k_z^2}$. Nesse sentido, a equação diferencial parcial pode ser resolvida pelo método de separação de variáveis, definindo:

$$A(x,y) = X(x) \cdot Y(y)$$

A solução geral pode ser, então, escrita como:

$$A(x,y) = [C_1 \cos(k_x x) + C_2 \sin(k_x x)] [C_3 \cos(k_y y) + C_4 \sin(k_y y)]$$

$$\text{onde } k_x^2 + k_y^2 = k_c^2.$$

Nesse sentido, as componentes do campo elétrico serão:

$$E_x(x,y,z) = \frac{\omega \mu}{j k_c^2} k_y [C_1 \cos(k_x x) + C_2 \sin(k_x x)] [-C_3 \sin(k_y y) + C_4 \cos(k_y y)] e^{-j k_z z}$$

$$E_y(x,y,z) = -\frac{\omega \mu}{j k_c^2} k_x [-C_1 \sin(k_x x) + C_2 \cos(k_x x)] [C_3 \cos(k_y y) + C_4 \sin(k_y y)] e^{-j k_z z}$$

De forma semelhante ao guia de placas paralelas, é possível determinar as seguintes condições de contorno:

$$(i) E_x(x,y,z) = 0 \text{ em } y=0 \text{ e } y=b$$

$$(ii) E_y(x,y,z) = 0 \text{ em } x=0 \text{ e } x=a$$

Dessa forma, deduz-se que:

$$E_x(x,y,z) = -\frac{\omega \mu m \pi}{j k_c^2 b} A_{mn} \cos\left(\frac{m \pi x}{a}\right) \sin\left(\frac{n \pi y}{b}\right) e^{-j k_z z}$$

$$E_y(x,y,z) = \frac{\omega \mu m \pi}{j k_c^2 a} A_{mn} \sin\left(\frac{m \pi x}{a}\right) \cos\left(\frac{n \pi y}{b}\right) e^{-j k_z z}$$

$$E_z(x,y,z) = 0$$

$$H_x(x,y,z) = -\frac{k_z m \pi}{j k_c^2 a} A_{mn} \sin\left(\frac{m \pi x}{a}\right) \cos\left(\frac{n \pi y}{b}\right) e^{-j k_z z}$$

$$H_y(x,y,z) = -\frac{k_z m \pi}{j k_c^2 b} A_{mn} \cos\left(\frac{m \pi x}{a}\right) \sin\left(\frac{n \pi y}{b}\right) e^{-j k_z z}$$

$$H_z(x,y,z) = A_{mn} \cos\left(\frac{m \pi x}{a}\right) \cos\left(\frac{n \pi y}{b}\right) e^{-j k_z z}$$

Logo, a constante de propagação assume a forma:

$$k_z = \sqrt{k^2 - k_c^2} \Rightarrow k_z = \sqrt{k^2 - \left(\frac{m\pi}{a}\right)^2 - \left(\frac{n\pi}{b}\right)^2} \quad \text{RELAÇÃO DE DISPERSÃO}$$

Para cada conjunto de inteiros (m, n) existe uma solução (modo) da equação de onda. Os modos são denominados TE_{mnm} .

Cada modo apresentará igualmente uma frequência de corte f_{cmm} dada por:

$$f_{cmm} = \frac{k_c}{2\pi\sqrt{\epsilon\mu}} \Rightarrow f_{cmm} = \frac{1}{2\pi\sqrt{\epsilon\mu}} \sqrt{\left(\frac{m\pi}{a}\right)^2 + \left(\frac{n\pi}{b}\right)^2}$$

O modo com a menor frequência de corte é chamado o modo dominante ou modo fundamental. Como foi assumido que $a > b$, o modo dominante será o TE_{10} :

$$TE_{10} \rightarrow f_{c10} = \frac{1}{2a\sqrt{\epsilon\mu}}$$

É válido observar que o modo TE_{00} não existe, pois está vinculado a campos E e H nulos. Em uma dada frequência de operação f , apenas os modos possuindo $f > f_c$ serão propagados no guia. Se $f < f_c$, então k_z é conduzido a uma grandeza imaginária e ocorre decaimento exponencial no sentido $+z$.

② MODO TM

No modo TM, tem-se $H_z = 0$ e E_z assume a forma:

$$E_z(x, y, z) = A(x, y) \cdot e^{-jk_z z}$$

sendo satisfazendo a equação de Helmholtz abaixo:

$$\frac{\partial^2 E_z}{\partial x^2} + \frac{\partial^2 E_z}{\partial y^2} + k_c^2 E_z = 0$$

com $k_c = \sqrt{k^2 - k_z^2}$. Utilizando o mesmo procedimento usado para o modo TE, deve-se encontrar que:

$$A(x, y) = [C_1 \cos(k_x x) + C_2 \sin(k_x x)] [C_3 \cos(k_y y) + C_4 \sin(k_y y)]$$

De forma semelhante, as condições de contorno conduzem a:

$$(i) A(x, y) = 0 \text{ em } x = 0 \text{ e } x = a$$

$$(ii) A(x, y) = 0 \text{ em } y = 0 \text{ e } y = b$$

Logo, tem-se:

$$E_x(x, y, z) = \frac{k_z m \pi}{j k c^2 a} B_{mnm} \cos\left(\frac{m \pi x}{a}\right) \sin\left(\frac{n \pi y}{b}\right) e^{-j k_z z}$$

$$E_y(x, y, z) = \frac{k_z m \pi}{j k c^2 b} B_{mnm} \sin\left(\frac{m \pi x}{a}\right) \cos\left(\frac{n \pi y}{b}\right) e^{-j k_z z}$$

$$E_z(x, y, z) = B_{mnm} \sin\left(\frac{m \pi x}{a}\right) \sin\left(\frac{n \pi y}{b}\right) e^{-j k_z z}$$

$$H_x(x, y, z) = -\frac{\omega \epsilon m \pi}{j k c^2 b} B_{mnm} \sin\left(\frac{m \pi x}{a}\right) \cos\left(\frac{n \pi y}{b}\right) e^{-j k_z z}$$

$$H_y(x, y, z) = \frac{\omega \epsilon m \pi}{j k c^2 a} B_{mnm} \cos\left(\frac{m \pi x}{a}\right) \sin\left(\frac{n \pi y}{b}\right) e^{-j k_z z}$$

Equivalentemente ao modo TE, a relação de dispersão assume a forma:

$$k_z = \sqrt{k^2 - \left(\frac{m \pi}{a}\right)^2 - \left(\frac{n \pi}{b}\right)^2}$$

A frequência de corte também será equivalente ao apresentado no modo TE. Constata-se, contudo, que os modos TM_{00} , TM_{01} e TM_{10} conduzem a valores de campos identicamente nulos. Dessa forma, o modo TM dominante será o modo TM_{11} , com frequência

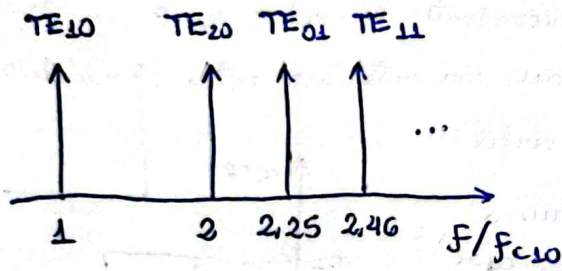
$$f_{c11} = \frac{1}{2\pi \sqrt{\epsilon \mu}} \sqrt{\left(\frac{\pi}{a}\right)^2 + \left(\frac{\pi}{b}\right)^2} > f_{c10} (TE_{10})$$

LISTA 4

① Seja $a = 2,29$ cm e $b = 1,02$ cm, calcula-se inicialmente a frequência de corte do modo dominante TE_{10} :

$$(i) f_{c10} = \frac{\pi}{2\pi a \sqrt{\epsilon_0 \mu_0}} \Rightarrow f_{c10} = \frac{c}{2a} \Rightarrow \boxed{f_{c10} = 6,55 \text{ GHz}}$$

Em seguida, busca-se descobrir qual o próximo modo na sequência de modos de propagação do guia



$$(ii) f_{c01} = \frac{c}{2b} = 14,71 \text{ GHz}$$

$$(iii) f_{c11} = \frac{c}{2\pi} \sqrt{\left(\frac{\pi}{a}\right)^2 + \left(\frac{\pi}{b}\right)^2} = 16,10 \text{ GHz}$$

$$(iv) f_{c20} = \frac{c}{a} = 13,10 \text{ GHz}$$

Assim, verifica-se que o próximo modo é o TE_{20} , logo:

$$1,25 f_{c10} \leq f \leq 0,95 f_{c20}$$

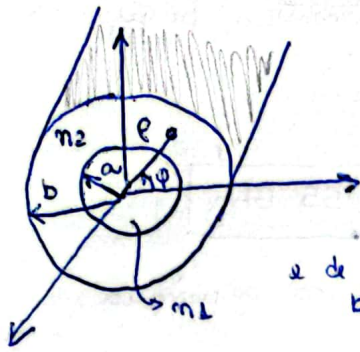
$$\boxed{8,19 \text{ GHz} \leq f \leq 12,45 \text{ GHz}}$$

② Seja $b > a$, o modo dominante será TE_{01} , e a menor frequência de corte do guia será:

$$f_{c01} = \frac{c}{2b} \Rightarrow \boxed{f_{c01} = 9,38 \text{ MHz}}$$

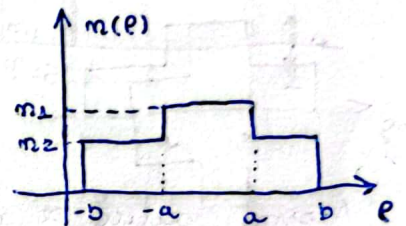
Deusa forma, observa-se que para os sinais modulados dados $f_{AM} < f_{c01}$ e $f_{FM} > f_{c01}$. Logo, apenas o sinal FM se propagará no guia. O sinal AM será atenuado.

GUIA DE ONDA CIRCULAR (FIBRA ÓTICA)

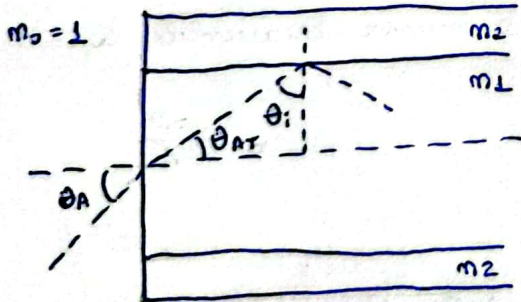


A fibra ótica consiste em guia de onda dielétrico voltado para frequências ópticas. Com estrutura semelhante ao cabo coaxial, considere um tubo cilíndrico de raio a e índice de refração n_1 , denominada núcleo. Considere que o núcleo está revestido por uma cobertura de índice de refração n_2 , denominada casca. Considere que o índice

de refração do núcleo é constante e uniforme, independente do valor de ρ , e passa por uma mudança abrupta, como uma função degrau, na interface entre o núcleo e a casca. Esse tipo de fibra é conhecido fibra de perfil de índice degrau. Considere igualmente que, para que a fibra opere com RIT, pela lei de Snell, ~~o índice~~ o índice n_2 deve ser menor que n_1 . Nesse sentido, pode-se definir o parâmetro Δ , denominada diferença de índice, tal que:



$$n_2 = n_1(1 - \Delta) \Rightarrow \Delta = \frac{n_1 - n_2}{n_1}$$



Ainda na discussão sobre RIT, considere que um raio incide na abertura da fibra com ângulo de incidência θ_A , vindo de um meio com índice $n_0 = 1$ (AR, VÁCUO). Esse raio sofre refração na abertura da fibra e passa a se propagar dentro do núcleo. Contudo, para que haja um funcionamento

correto do guia, o ângulo de incidência θ_i desse raio com a interface núcleo/casca deve ser maior que o ângulo crítico θ_c , como discutido na ocasião da reflexão total. Nessa perspectiva, se θ_A for muito grande é possível que $\theta_i < \theta_c$, logo deve existir um ângulo de incidência $\theta_{A, \max}$ máximo. Seja $\theta_i + \theta_{AT} = \pi/2$,

$$n_0 \sin \theta_A = n_1 \sin \theta_{AT} \Rightarrow n_0 \sin \theta_A = n_1 \sin \left(\frac{\pi}{2} - \theta_i \right) \Rightarrow \sin \theta_A = n_1 \cos \theta_i$$

Para $\theta_{A, \max}$, espera-se que $\theta_i = \theta_c = \arcsin \left(\frac{n_2}{n_1} \right)$, logo:

$$\sin \theta_{A, \max} = n_1 \sqrt{1 - \sin^2 \theta_c} = n_1 \sqrt{1 - \left(\frac{n_2}{n_1} \right)^2} \Rightarrow \sin \theta_{A, \max} = \sqrt{n_1^2 - n_2^2}$$

O valor do seno do ângulo de ~~de~~ admissão máximo é denominada abertura numérica (NA) da fibra:

$$NA = \sqrt{n_1^2 - n_2^2}$$

Constata-se que o ângulo $\theta_{A, \max}$ determina um cone de admissão na abertura da fibra: raios incidentes fora desse cone, ou seja, com $\theta_A > \theta_{A, \max}$, serão refletidos para a casca, causando perdas de transmissão.

LISTA 3

④ caso a diferença de índice Δ seja muito menor do que 1, tem-se:

$$\frac{n_1 - n_2}{n_1} \ll 1 \Rightarrow n_1 \approx n_2$$

Logo,

$$NA = \sqrt{n_1^2 - n_2^2} = \sqrt{(n_1 + n_2)(n_1 - n_2)} = \sqrt{2n_1(n_1 - n_2)} = \sqrt{2n_1^2 \left(\frac{n_1 - n_2}{n_1}\right)} \Rightarrow$$

$$NA = n_1 \sqrt{2\Delta}$$

① MODOS DE PROPAGAÇÃO

Como a fibra ótica apresenta uma geometria cilíndrica, seria mais apropriado trabalhar com coordenadas cilíndricas (ρ, ϕ, z) . De forma semelhante aos demais guias estudados, os campos transversais em coordenadas cilíndricas podem ser descritos em função de E_z e H_z . Assim, sejam os campos dados pela forma

$$\vec{E} = \vec{A}(\rho, \phi) e^{-jk_z z}$$

$$\vec{H} = \vec{B}(\rho, \phi) e^{-jk_z z}$$

Pelas equações de Maxwell, encontra-se que, sendo $k_c = \sqrt{k^2 - k_z^2}$,

$$\left\{ \begin{array}{l} E_\rho = \frac{1}{j k_c^2} \left(k_z \frac{\partial E_z}{\partial \rho} + \frac{\omega \mu}{\rho} \frac{\partial H_z}{\partial \phi} \right) \\ E_\phi = \frac{1}{j k_c^2} \left(\frac{k_z}{\rho} \frac{\partial E_z}{\partial \phi} - \omega \mu \frac{\partial H_z}{\partial \rho} \right) \\ H_\rho = -\frac{1}{j k_c^2} \left(\frac{\omega \epsilon}{\rho} \frac{\partial E_z}{\partial \phi} - k_z \frac{\partial H_z}{\partial \rho} \right) \\ H_\phi = \frac{1}{j k_c^2} \left(\omega \epsilon \frac{\partial E_z}{\partial \rho} + \frac{k_z}{\rho} \frac{\partial H_z}{\partial \phi} \right) \end{array} \right. \quad (**)$$

Em coordenadas cilíndricas, o potencial de um campo é dado por:

$$\nabla \times \vec{F}(r, \varphi, z) = \left(\frac{1}{r} \frac{\partial F_z}{\partial \varphi} - \frac{\partial F_\varphi}{\partial z} \right) \hat{r} + \left(\frac{\partial F_r}{\partial z} - \frac{\partial F_z}{\partial r} \right) \hat{\varphi} + \left(\frac{1}{r} \frac{\partial (r F_\varphi)}{\partial r} - \frac{1}{r} \frac{\partial F_r}{\partial \varphi} \right) \hat{z}$$

Em fibras óticas, além dos modos TE e TH já discutidos para outros guias, a estrutura cilíndrica e as condições de contorno da interface núcleo/casca fazem aparecer também modos híbridos, frutos do acoplamento entre os campos elétrico e magnético. Nesses modos, $E_z \neq 0$ e $H_z \neq 0$ e serão denominados de EH ou HE, dependendo de qual dos campos é maior para o modo em questão.

Assim, as equações de onda em coordenadas cilíndricas podem ser deduzidas como:

$$\nabla^2 H_z + k^2 H_z = 0 \Rightarrow \left(\frac{\partial^2}{\partial r^2} + \frac{1}{r} \frac{\partial}{\partial r} + \frac{1}{r^2} \frac{\partial^2}{\partial \varphi^2} + k_c^2 \right) B(r, \varphi) = 0$$

$$\nabla^2 E_z + k^2 E_z = 0 \Rightarrow \left(\frac{\partial^2}{\partial r^2} + \frac{1}{r} \frac{\partial}{\partial r} + \frac{1}{r^2} \frac{\partial^2}{\partial \varphi^2} + k_c^2 \right) A(r, \varphi) = 0$$

Como feito antes, pode-se aplicar o método de separação de variáveis. Para o campo elétrico:

$$A(r, \varphi) = R(r) P(\varphi)$$

Retornando na equação de onda:

$$\frac{r^2}{R} \frac{d^2 R}{dr^2} + \frac{r}{R} \frac{dR}{dr} + r^2 k_c^2 = -\frac{1}{P} \frac{d^2 P}{d\varphi^2}$$

Percebe-se que o lado esquerdo da equação depende apenas de r , enquanto o lado direito, de φ . Logo, cada lado deve ser igual a uma constante, que será denominada δ . Dessa forma:

$$\boxed{\frac{d^2 P}{d\varphi^2} + \delta^2 P = 0} \quad (I)$$

$$\boxed{r^2 \frac{d^2 R}{dr^2} + r \frac{dR}{dr} + (r^2 k_c^2 - \delta^2) R = 0} \quad (II)$$

A solução geral de (I) é dada por $P(\varphi) = A \sin(\delta\varphi) + B \cos(\delta\varphi)$, onde A e B são constantes (não confundir com a função $A(r, \varphi)$...). Contudo, como $A(r, \varphi)$ deve ser periódica em φ , ou seja, $A(r, \varphi) = A(r, \varphi \pm 2m\pi)$, então δ deve ser um inteiro m . Tem-se, portanto:

$$\boxed{P(\varphi) = A \sin(m\varphi) + B \cos(m\varphi)}$$

Já (II) é da forma da equação diferencial de Bessel e, portanto, assume como soluções canônicas no núcleo e na casca:

$$R(\rho) = \begin{cases} C J_m(kc\rho) + D Y_m(kc\rho), & \rho \leq a \\ E K_m(ka\rho) + F I_m(ka\rho), & a < \rho < b \end{cases}$$

onde C, D, E e F são constantes; J_m e Y_m são funções de Bessel do primeiro e segundo tipo; K_m e I_m são funções de Bessel modificadas do primeiro e segundo tipo; e $ka = \sqrt{k_z^2 - k^2}$

Algumas simplificações ocorrem quando se consideram as condições de contorno. Espera-se que o modo seja finito em $\rho=0$ e seja atenuado para zero em $\rho \rightarrow \infty$, assim, como $Y_m(kc\rho)$ torna-se infinito (singularidade) em $\rho=0$, esse termo é fisicamente inaceitável, logo $D=0$. Além disso, $R(\rho)$ torna-se nulo no infinito apenas se $F=0$. Logo, a solução geral é:

$$E_z = \begin{cases} J_m(kc\rho) [A_1 \sin(m\phi) + B_1 \cos(m\phi)] e^{-\delta k_z z}, & \rho \leq a \\ K_m(ka\rho) [A_2 \sin(m\phi) + B_2 \cos(m\phi)] e^{-\delta k_z z}, & a < \rho < b \end{cases}$$

Agrupando as constantes em A_1, B_1, A_2, B_2 .

Utilizando o mesmo método é-se encontrar:

$$H_z = \begin{cases} J_m(kc\rho) [A_3 \sin(m\phi) + B_3 \cos(m\phi)] e^{-\delta k_z z}, & \rho \leq a \\ K_m(ka\rho) [A_4 \sin(m\phi) + B_4 \cos(m\phi)] e^{-\delta k_z z}, & a < \rho < b \end{cases}$$

As demais componentes são encontradas com o sistema (**).

Como feito na questão 7 da lista 2 para o guia dielétrico planar, é possível determinar as constantes A_{1-4} e B_{1-4} através das condições de continuidade dos campos H_z, E_z, H_ϕ e E_ϕ na fronteira do núcleo com a casca ($\rho=a$). A derivação leva ao polinômio característico:

$$\left[\frac{J'_m(ka)}{kc J_m(ka)} + \frac{K'_m(ka)}{ka K_m(ka)} \right] \left[\frac{J'_m(ka)}{kc J_m(ka)} + \frac{m^2}{m_1^2} \frac{K'_m(ka)}{ka K_m(ka)} \right] = \left(\frac{m k_z}{m_1 a k_0} \right)^2 \left(\frac{1}{kc^2} + \frac{1}{ka} \right)^2 \quad (III)$$

onde $J'_m(k_0 a)$ e $K'_m(k_0 a)$ indicam as derivadas de J_m e K_m com relação aos seus argumentos. O polinômio característico permitirá portanto encontrar k_z em função de k_0 , a , m_1 e m_2 . Em geral, deve-se encontrar múltiplas soluções para cada valor inteiro de m , logo, pode-se enumerar as soluções como k_{zmm} para um dado m ($m = 1, 2, 3, \dots$).

Cada ~~valor~~ valor de k_{zmm} corresponderá a um único modo possível de propagação na fibra. Nesse sentido, como geralmente $H_z \neq 0$ e $E_z \neq 0$, os modos da fibra podem ser denotados EH_{mm} ou HE_{mm} , dependendo se $\odot E_z > H_z$ ou \ominus contrário. Para o caso especial $m=0$, HE_{0m} e EH_{0m} são denotados TE_{0m} e TM_{0m} , respectivamente, visto que correspondem ao modo TE ($E_z=0$) e modo TM ($H_z=0$).

② FREQUÊNCIA DE CORTE

Se definida a quantidade $\tilde{n} = \frac{k_z}{k_0}$, chamada índice efetivo, é possível afirmar que um modo se propaga quando $m_1 > \tilde{n} > m_2$. Nesse sentido, se $\tilde{n} \leq m_2$, o modo deve parar de se propagar na fibra, pois o decaimento exponencial (onda evanescente) na casca deixa de acontecer e as condições de contorno não são mais satisfeitas. Para verificar isso, observa-se que para $\tilde{n} \leq m_2 \Rightarrow k_a^2 \leq 0$, logo seja:

$$K_m(k_0 a) \approx \left(\frac{\pi}{2 k_0 a} \right)^{1/2} e^{-k_a a}, \text{ para } k_0 a \gg 1$$

nas condições referidas perde-se \odot a atenuação exponencial. Assim, pode-se dizer que o modo atinge a frequência de corte quando k_a atinge zero ($\tilde{n} = m_2$).

Nessa situação, $\tilde{n} = \frac{k_z}{k_0} = m_2 \Rightarrow k_z = k_0 m_2 \Rightarrow k_c = \sqrt{k^2 - k_z^2} = k_0 \sqrt{m_1^2 - m_2^2}$.

Para melhor analisar a frequência de corte, pode-se definir um novo parâmetro: a frequência normalizada V ($V \propto 2\pi f_c$), dada por:

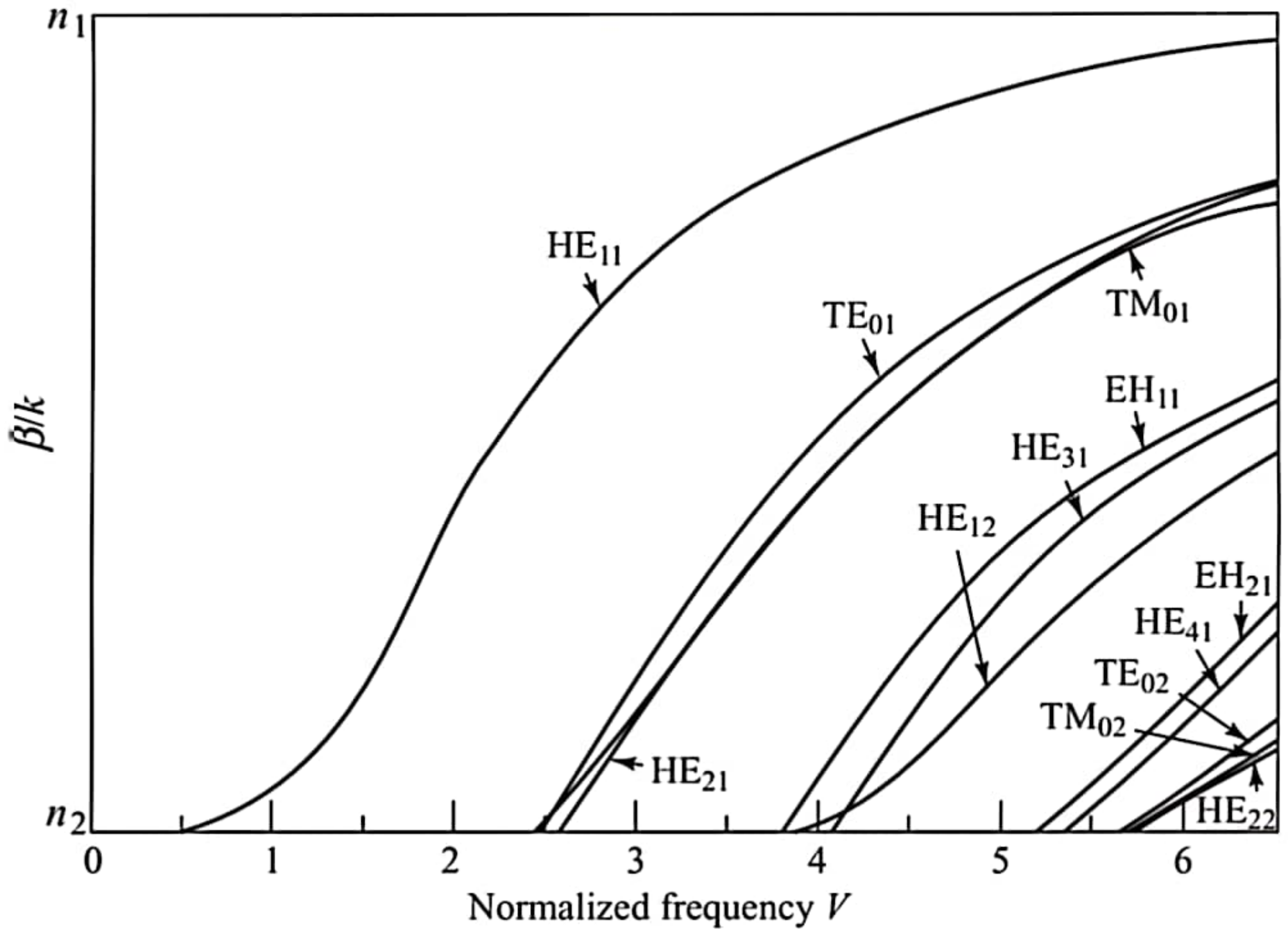
$$V^2 = k_c^2 \cdot a^2 \Rightarrow V = k_0 a \sqrt{m_1^2 - m_2^2} \Rightarrow \boxed{V = \left(\frac{2\pi a}{\lambda} \right) \sqrt{m_1^2 - m_2^2}}$$

A frequência normalizada é adimensional e determina igualmente o número M

de modos que uma fibra suporta através da expressão aproximada:

$$M \approx \frac{V^2}{2}$$

Nesse panorama, haverá fibras multimodo e fibras monomodo. Uma fibra monomodo só aceita um modo de propagação em seu núcleo, que, no caso, deve ser o modo dominante HE_{11} (figura a seguir).



Logo, a condição de um único modo existente é determinada para o valor de V em que TE_{01} e TM_{01} entram em corte. Utilizando o polinômio característico (III), é possível encontrar para $m=0$:

$$\text{modo } TE_{0m}: k_c J_0(k_c a) K_0'(k_c a) + k_w J_0'(k_c a) K_0(k_c a) = 0$$

$$\text{modo } TM_{0m}: k_c m^2 J_0(k_c a) K_0'(k_c a) + k_w m^2 J_0'(k_c a) K_0(k_c a) = 0$$

O modo entra em corte quando $k_c = 0$. Como $V = k_c a$, quando $k_c = 0$, então para ambos os modos, a condição de corte é dada por:

$$J_0(V) = 0$$

A menor raiz da função de Bessel $J_0(x)$ é 2,405, logo, uma fibra projetada com $V < 2,405$ suporta apenas o modo fundamental HE_{11} , sendo portanto mono modo.

LISTA 3

5) a) Seja M o número total de modos M dado por:

$$M = \frac{V^2}{2} \Rightarrow M = \frac{1}{2} \left(\frac{2\pi a}{\lambda} \right)^2 (\sqrt{n_1^2 - n_2^2})^2 = M = \frac{1}{2} \left(\frac{2\pi a}{\lambda} \right)^2 NA^2 \Rightarrow$$

$$a = \frac{\lambda}{2\pi \cdot NA} \sqrt{2M} \Rightarrow a = \frac{850 \cdot 10^{-9}}{2\pi \cdot 0,2} \cdot \sqrt{2 \cdot 1000} \Rightarrow \boxed{a = 30,25 \mu\text{m}}$$

$$\text{Logo, } d = 2a \Rightarrow \boxed{d = 60,50 \mu\text{m}}$$